

Экспериментальный тур

Задание 1. Физика желеобразных веществ

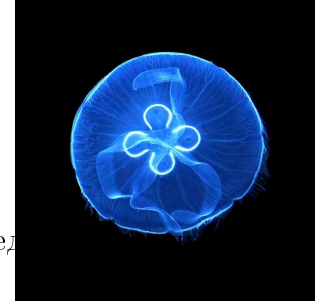
Примечание. Чтобы плавно регулировать напряжение на источнике, поверните ручку пределов напряжения в крайнее правое положение (0-15 V). Остальные положения ручки задают фиксированное значение напряжения.

Примечание. Проверьте, что перед включением два левых тумблера повёрнуты до конца по часовой стрелке, а два правых тумблера — против часовой стрелки. Для изменения напряжения пользуйтесь двумя правыми тумблерами: «COARSE» для грубого изменения и «FINE» для плавного.

В данной работе предлагается исследовать механические свойства желеобразных веществ, к которым относятся желе, гели, студни.



Встречаются и животные с желеобразными телами, например, медуза Аурелия ушастая (Moon Jelly) с прозрачным студенистым телом.



Желеобразные вещества занимают промежуточное положение между жидкими и твёрдыми веществами. Они характеризуются отсутствием текучести, способностью сохранять форму, прочностью, упругими свойствами. По многим своим механическим свойствам эти вещества уникальны. В данной работе вам предстоит изучить модуль Юнга E и скорость звука c в желатине.

В этой работе вам могут помочь следующие теоретические сведения.

Модуль Юнга характеризует упругие свойства вещества, определяя жёсткость различных конструкций. Например, небольшая относительная деформация ε цилиндра сечением S и высотой h под действием растягивающей (или сжимающей) силы F равна (по определению модуля Юнга):

$$\varepsilon = \frac{\Delta h}{h} = \frac{F}{ES}.$$

Изгиб цилиндра. Пусть цилиндр закреплен в вертикальном положении. Если к верхнему основанию приложить момент сил M , оно наклонится на угол φ к горизонту. По закону Гука при малых деформациях:

$$M = \kappa\varphi,$$

где κ — жёсткость цилиндра на изгиб. Она определяется модулем Юнга и геометрическими параметрами цилиндра по формуле:

$$\kappa = E \frac{\pi R^4}{4h},$$

где R — радиус цилиндра, а h — его высота.

Кручение цилиндра. Верхнее основание цилиндра относительно нижнего, закреплённого, основания можно повернуть на угол φ вокруг оси цилиндра в горизонтальной плоскости. Такая деформация называется кручением. При небольших деформациях по закону Гука момент сил M , необходимый для закручивания цилиндра, также пропорционален углу φ :

$$M = \chi\varphi,$$

где $\chi \approx E\pi R^4/(6h)$ — крутильная жёсткость желатинового цилиндра.

Крутильные колебания возникают, если прикреплённый к верхнему основанию цилиндра стержень отклонить в горизонтальной плоскости от положения равновесия на некоторый угол и отпустить (нижнее основание цилиндра закреплено). Период гармонических колебаний такого Т-образного крутального маятника определяется крутильной жёсткостью цилиндра и моментом инерции I маятника относительно оси вращения:

$$T = 2\pi\sqrt{\frac{I}{\chi}}.$$

Момент инерции крутального маятника (подобно массе груза для пружинного маятника) определяет его инерционность. Момент инерции зависит от распределения масс относительно оси вращения маятника. Так, момент инерции тонкого однородного стержня длиной l и массой m_0 относительно оси, перпендикулярной стержню и проходящей через его середину, равен:

$$I_{\text{ct}} = \frac{m_0 l^2}{12}.$$

Если же на стержень нацепить небольшой грузик массой m на расстоянии r от оси вращения, то момент инерции маятника увеличится на величину момента инерции грузика $\Delta I = I_m = mr^2$ и станет равным:

$$I = I_{\text{ct}} + mr^2.$$

Это связано с тем, что момент инерции — величина аддитивная.

Модуль Юнга входит в формулу для **скорости звука** в различных материалах. Если, например, по торцу тонкого стержня ударить молотком, то по стержню побежит продольная звуковая волна со скоростью $c = \sqrt{E/\rho}$. Так, для стали с модулем Юнга $E = 2 \cdot 10^{11}$ Па и плотностью $\rho = 7,9 \frac{\text{г}}{\text{см}^3}$ эта скорость составляет $c = \sqrt{E/\rho} \approx 5 \text{ км/с}$.

Задание

1.1. Изготовьте из желатинового цилиндра диаметром $D = 29$ и длинной деревянной линейки Т-образный маятник (при необходимости, если недостаточно собственной «липкости» желатина, линейку можно подклеить к цилинду, а сам цилиндр к деревянной подставке с помощью «желатинового» клея). Исследуйте желатиновый цилиндр на изгиб статическим методом. Для этого снимите зависимость $\varphi(M)$ — изменения угла φ наклона линейки Т-образного маятника под действием приложенного к линейке момента сил M . Зарисуйте схему установки и опишите методику измерений.

1.2. Результаты измерений п. 1.1 представьте графически.

1.3. По результатам эксперимента п. 1.1 получите значение модуля Юнга E желатина. Оцените погрешность измерений.

2.1. Исследуйте желатиновый цилиндр Т-образного маятника на кручение динамическим методом. Для этого исследуйте зависимость изменения периода $T_{\text{круг}}$ крутильных колебаний маятника от изменения момента его инерции. Зарисуйте схему установки и опишите методику измерений.

2.2. Результаты измерений п. 2.1 представьте графически.

2.3. По результатам измерений п. 2.1 получите значение модуля Юнга E желатина. Оцените погрешность измерений.

3.1. Исследуя поведение тонких ($d = 19,5$ мм) желатиновых цилиндров на вибрирующей подставке, определите скорость продольных звуковых волн c_s в желатине. Желатиновые цилиндры выдавливаются из шприцов с помощью поршня. Для приготовления цилиндров необходимой длины используйте канцелярский нож. Зарисуйте схему установки и опишите методику измерений.

Внимание: не подавайте на электромоторчик напряжение, превышающее 9,5 В.

Совет: отрезать нужную длину образца лучше по мере выдавливания цилиндра, прижимая нож к торцу шприца.

Подсказка: вибрирующая подставка может быть реализована с помощью линейки с закреплённым на ней электромоторчиком.

3.2. Сравните полученное значение c_s с теоретическим, рассчитанным по формуле $c_t = \sqrt{E/\rho}$, где E — модуль Юнга, определённый статическим или динамическим методом. Плотность желатина $\rho = 1,05 \frac{\text{г}}{\text{см}^3}$.

4. С помощью пластиковой ложечки съешьте фруктовое желе. Запишите свои впечатления. Зарисовывать схему установки, описывать методику поедания, определять модуль Юнга и делать оценку погрешности в этом пункте не надо. Ашларығыз тәмле булсын!

Примечание. Этот пункт можно выполнить в любой момент.

Оборудование. Широкий шприц с внутренним диаметром $D = 29$ мм, деревянная подставка, 3 маленьких шприца с внутренним диаметром $d = 19,5$ мм, электромоторчик постоянного тока с эксцентриком, закреплённый на деревянной линейке, регулируемый источник постоянного тока, стробоскопический тахометр, секундомер, деревянная линейка, канцелярский нож, 2 одинаковые большие гайки массой $m_g = 9,75$ г каждая, канцелярская клипса, фруктовое желе (яблочное, вишнёвое или клубничное), пластиковая (одноразовая) ложечка. Клей (расплавленный желатин) по требованию.

Задание 2. Магнитное взаимодействие

Простейший электрический диполь представляет собой систему из двух одинаковых по величине и противоположных по знаку точечных электрических зарядов, смещённых друг относительно друга на вектор \vec{l} , проведённый от отрицательного ($-q$) к положительному заряду ($+q$). Дипольный момент — это векторная величина, равная:

$$\vec{P} = q\vec{l}.$$

Диполь называют точечным (или элементарным), если его размеры малы по сравнению расстоянием r до диполя: $l \ll r$.

Эксперимент и теория показывают, что картина силовых линий напряжённости \vec{E} поля электрического точечного диполя \vec{P} не отличается от картины силовых линий магнитной индукции \vec{B} магнитного точечного диполя \vec{P}_m (маленького постоянного магнитика или виточка с током). Это означает, что, получив законы взаимодействия электрических точечных диполей и заменив в формулах \vec{P} на \vec{P}_m , а константу электрического взаимодействия $k_\varepsilon = (4\pi\varepsilon_0)^{-1} = 9 \cdot 10^9 \text{ м}/\Phi$ — на константу магнитного взаимодействия $k_\mu = \mu_0/(4\pi) = 10^{-7} \text{ Гн}/\text{м}$, мы сможем рассчитать поля и законы взаимодействия магнитных диполей. Вектор магнитного момента \vec{P}_m постоянного магнита направлен от южного к северному полюсу (для витка с током это направление соответствует правилу буравчика).

Магнитный шар

Магнитные моменты неодимовых магнитов в нашей работе не меняются под действием внешнего магнитного поля, то есть являются магнитожёсткими.

Поле неодимового шара радиусом R на расстояниях $r \geq R$ совпадает с полем точечного магнитного диполя \vec{P}_m , равного магнитному моменту шара и расположенного в его центре.

Неодимовые шары взаимодействуют как жёсткие точечные диполи, расположенные в центрах шаров.

Железный шар в магнитном поле

Железный шар в нашей работе в отсутствие магнитных полей практически не намагничен и, соответственно, не несёт никакого магнитного момента. В магнитном поле он намагничивается, приобретая магнитный момент пропорциональный индукции магнитного поля B :

$$\vec{P}_{\text{ш}} = \frac{4\pi\mu - 1}{\mu_0\mu + 2} B \vec{R}^3,$$

где R — радиус шара, а μ — магнитная проницаемость железа. В результате возникает взаимодействие между наведённым магнитным моментом шара $\vec{P}_{\text{ш}}$ и магнитным моментом \vec{P}_m постоянного магнита.

Задание

1.1 Снимите зависимость силы $F(\theta)$ взаимодействия двух неодимовых шаров от угла θ между их магнитными моментами с шагом в 10° в двух случаях:

а) магнитный момент \vec{P}_m одного из шаров (неподвижного) направлен вдоль прямой, соединяющей центры шаров.

б) магнитный момент \vec{P}_m одного из шаров (неподвижного) перпендикулярен прямой, соединяющей центры шаров.

Опишите установку и методику измерений.

1.2. Постройте зависимости $F_a(\theta)$ и $F_b(\theta)$ на одном графике.

1.3. Постройте график $\gamma(\theta) = F_a(\theta)/F_b(\theta)$.

2. Получите теоретическое значение отношения $\gamma(\theta)$ для значений $\theta = 0^\circ, 90^\circ, 180^\circ, 270^\circ$.

3. Определите максимальную силу $F_{\text{сп}}$ сцепления соприкасающихся магнитных шаров.

4. Считая, что неодимовые шары намагниченны одинаково, используя экспериментальные данные, рассчитайте их магнитные моменты P_m .

5. Определите индукцию B_{n} магнитного поля на полюсе неодимового шара.

6. Снимите зависимость силы $F(\theta)$ взаимодействия неодимового шара с железным от угла θ между магнитным моментом \vec{P}_m постоянного магнита и линией, соединяющей центры шаров. Постройте график этой зависимости. Определите отношение $k_s = F_{\max}/F_{\min}$ сил взаимодействия на графике 1.2.

Примечание. Диапазон значений силы для этой зависимости может существенно отличаться от уже выбранного масштаба для графика 1.2. В таком случае вы можете выбрать дополнительную ось ординат (Y), отметив её с правой стороны графика, со своим масштабом и смещением. Укажите, к какой из осей ординат какая зависимость относится.

7. Считая, что железный шар находится в однородном поле, равном внешнему полю в его центре, сделайте теоретическую оценку отношения $k_t = F_{\max}/F_{\min}$ сил взаимодействия магнита с железным шаром. Сравните теоретическую оценку с экспериментальным значением k_s , полученным в предыдущем пункте.

8. Оцените максимальную величину $P_{\text{ш}}$ наведённого магнитного момента железного шара при расстоянии между центрами шаров $r \approx 5$ см.

9. Оцените магнитную проницаемость материала, из которого изготовлен железный шар.

Оборудование. Два одинаковых неодимовых магнитных шара диаметром $d = 20$ мм (один полюс помечен), железный шар диаметром $d = 20$ мм, штатив, устройства для крепления и поворота шаров, шкала для отсчёта угла поворота магнита, электронные весы, деревянная линейка, перманентный маркер по требованию.